

論文内容要旨

論文題目 MOLECULAR CLONING AND FUNCTIONAL EXPRESSION ANALYSIS OF RAT AND HUMAN HEPASSOCIN, A LIVER-SPECIFIC PROTEIN WITH DNA SYNTHESIS-STIMULATING ACTIVITY
DNA 合成促進活性をもつ肝特異的新規タンパク質ヘパソシンのラットおよびヒト肝臓からの分離と同定

氏名 原 寛

◆Introduction

ラット肝臓を部分切除すると肝臓が再生することが、HigginsとAndersonによって1931年に初めて実験的に証明された。その後、肝再生を司る因子の解明に向け多くの研究が行われ、中村らにより、肝非実質細胞から分泌され、肝実質細胞に作用する強力なDNA合成刺激因子HGFが見出された。また、TGF- α 、EGF、FGF-1も肝実質細胞に対し同様の作用がある。一方、肝再生の中期では肝実質細胞DNA合成抑制因子としてのTGF- β が発現し、肝再生を停止に向かわせていると考えられる。また、部分肝切除後、30分以内に活性化される遺伝子としてLRF-1等のいくつかの転写因子も報告されている。このように多くの報告がなされているにもかかわらず、肝再生の仕組みの詳細はまだ十分明らかになったとは言えない。

本研究では、Differential cDNA cloning技術と*Xenopus oocyte expression screening*法を用いて、ラットの肝再生に伴い活性化される新規の遺伝子を分離し、その遺伝子の産生する蛋白質（ヘパソシンと命名）が肝実質細胞のDNA合成を刺激する活性をもつことを見出した。本遺伝子は肝部分切除だけでなく、ガラクトサミンによる肝の傷害によっても活性化されることから、肝の再生に重要な役割を果たしていることが示唆された。次にこのラット遺伝子をプローブとしてヒト肝cDNAを得た。ヒト型組換え蛋白質を生産し、肝実質細胞のDNA合成を刺激する活性を検討したところ、ラット蛋白質と同様に活性をもっていた。

◆Results

①再生肝で活性化し、肝細胞のDNA合成を刺激する新規遺伝子の単離

肝部分切除12時間後のラット肝からcDNAライブラリーを作製した。次に、再生肝cDNAと擬手術肝cDNAをそれぞれアイソトープ標識したものをプローブとして、differential hybridization法によりcDNAライブラリー70,000クローンを分析した。その結果、擬手術肝cDNAプローブより再生肝cDNAプローブでより強く結合するものとして357クローンを選択した。さらに正確にクローンを選択するため、357クローンからDNAを抽出してフィルターにブロッティングし、同様に2種類のプローブを用いて2次スクリーニングを行い、再生肝で活性化されるcDNA38クローンを得た。

cDNAデータベースに基づく解析の結果、これらのクローンのうち、17クローンが新規遺伝子であった。これらの38クローンについて、それぞれcDNAをプローブに谷口らの方法により再生肝よりmRNAを抽出し、アフリカツメガエル卵母細胞にマイクロインジェクションを行い、蛋白質を発現させた。ここで得られた蛋白質（培養液中に発現しているので、培養液を濃縮したもの）をラット初代培養肝実質細胞に与えた。38クローンのうち、クローン #41がDNA合成を刺激する活性をもっていた。得られたクローン#41は完全長でなかったので、5'RACE法によって完全長ラットcDNAを得た。これは5残基のシス

テインを含む314アミノ酸からなる蛋白質をコードしていた(Fig. 1)。

一方、このラットcDNAをプローブとして312アミノ酸からなる蛋白質をコードするヒト肝cDNAを得た。

②ヘパソシン組換え蛋白質の発現と解析

ラット・ヘパソシンcDNAをpCDL-SRα296に組込み、Vero S3細胞に導入し蛋白発現を行い、DEAE-Sepharose及びSephadex G-25を用いて精製した。得られた蛋白質は、SDS-PAGE還元下で34kDa、非還元下で66kDaであった(Fig. 2)。精製蛋白質のN末端アミノ酸配列を解析したところ、その配列は、Asp-Glu-Asn-Cys-Leu-Gln-Glu-Gln-Val-Arg-Leu-Arg-Ala-Gln-Val-Arg-Gln-Leu-Glu-Thr-Arg-Val-Lys-Gln-Gln-Gln-Val-Val-Ile-Alaであった。この配列は、cDNAから予想したアミノ酸配列(Fig. 1)の25番目から54番目のアミノ酸に相当していた。精製した蛋白質をラット初代培養肝実質細胞に作用させたところ、EGFと同等なDNA合成刺激活性をもつことが明らかになった(Fig. 3)。

ヒト・ヘパソシンcDNAをCHO細胞を用いて蛋白発現したところ、N末端アミノ酸配列の解析から290アミノ酸からなることがわかった(Fig. 4)。即ち、cDNAの配列から予想したN末端側22アミノ酸はシグナルペプチドと考えられた。得られたヒト・ヘパソシン蛋白質をウサギ、イヌの初代培養肝実質細胞に作用させたところDNA合成促進活性を示した。ヒト・ヘパソシンは、ラット、マウスの肝実質細胞に対してラット・ヘパソシンより作用は弱いがDNA合成促進活性を有していた(Fig. 5)。

③ラット肝からのヘパソシンの精製と解析

ラット肝からヘパソシンを精製するにあたり、部分ペプチド3種を合成し、これをウサギに免疫し抗ペプチド抗体を作製した。うち1種の抗ペプチド抗体は高い抗体価を示したため、これを用いて抗体アフィニティーカラムを作製し、肝部分切除24時間後のラット肝(200頭:600g)homogenateからヘパソシンを精製した。精製蛋白質は組換え蛋白質と同様に、還元下34kDa、非還元下66kDaであることがわかった。精製蛋白質をラット初代培養肝実質細胞に与えたところ、EGFと同等なDNA合成刺激活性をもつことが改めて確認できた。また、精製蛋白質のN末端アミノ酸配列を解析したところ、組換え蛋白質のアミノ酸配列と一致する結果を得た。

④ヘパソシンmRNAの組織特異的発現

ラット心、脳、胎盤、肺、筋、腎、睾丸でのヘパソシンmRNAの発現をNorthern blot解析した。その結果、ヘパソシン遺伝子は肝でのみ発現する組織特異性の高い遺伝子であった(Fig. 6)。また、肝組織内でのヘパソシン遺伝子の発現を調べると、発現部位は、肝実質細胞に限られており、内皮細胞等の非実質細胞には認められなかった。

ヒト・ヘパソシンmRNAをDot blot解析したところ、肝で発現が高く、臍で僅かに発現していた。

⑤ヘパソシンmRNAの肝切除及び肝傷害に伴う発現変化

ラット部分肝切除後のヘパソシンmRNAの発現を調べたところ、48時間後に発現のピークが認められた(Fig. 7)。また、ガラクトサミン投与時には8~12時間に発現のピークが認められた。

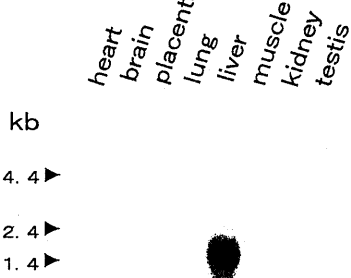
◆Discussion

肝部分切除12時間後のラット肝cDNAライブラリー70,000クローンから擬手術肝に比し再生肝でより強く発現する新規cDNAクローンを得、その遺伝子産物がラット初代培養肝実質細胞のDNA合成活性を高めることを見出したので、この新規蛋白質をヘパソシンと名付けた。組換え蛋白質を調製したところ、314アミノ酸のうち25番目のアミノ酸から始まる290アミノ酸から成り、ホモ2量体を形成していた。N末端側24アミノ酸はシグナル・ペプチドとして存在し、分泌型蛋白質であった。抗体カラムを用いてラット

Comparison of predicted amino acid sequences of human and rat hepassocin

Human	MAKVFSFILVTTALIMGREISAL--EDCAQEQMRLRAQVRLLTRVKQQQ	48
Rat	GEIR--V-I-V---L-K-SWV-CD-N-L--V-----Q-----	50
Human	VKIKQLLQENEVQFLDKGQDENTVIQDLGSKRQYAD	98
Rat	-V-A---H-K-----R-Q-DSF---G-H-----Y-F-H-----	100
Human	IKPLQSLAEFSVYCDMSDGGGGHTVIQRRSDGSENFNRGWKOYENGFGNFV	148
Rat	-----N-----	150
Human	QKHGEYWLGKLNHLHFLLTQEDYTLKIDLADFEKNSRYAQYKNFKVGDEKN	198
Rat	-SN-----INL-M-G-----T-----F-EK-----S	200
Human	FYELNIGEYSGTAGDSLGNFHPEVQWWASHQRMKFSTWDRDHDNYEGNC	248
Rat	-----S-T-----T-----R-N-N-----	250
Human	AEEQSGWFWNRQHSANLNGVYYSGPYTAKTNDGIVWYTWGHWWYSLKSV	298
Rat	----D-----Q-R-E-----V-----R-----	300
Human	VMKIRPNDFIPNVI	312
Rat	-----S-----IV	314

Fig.4



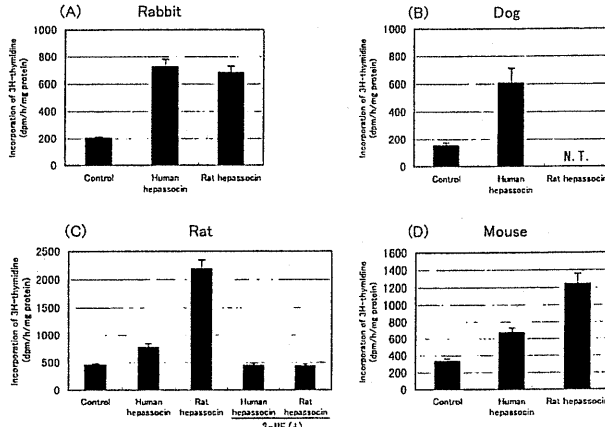
Northern blot analysis of hepassocin expression in rat tissues

Fig.6

Comparison of amino acid sequences of human hepassocin (upper lines) and human fibrinogen- γ (lower lines)

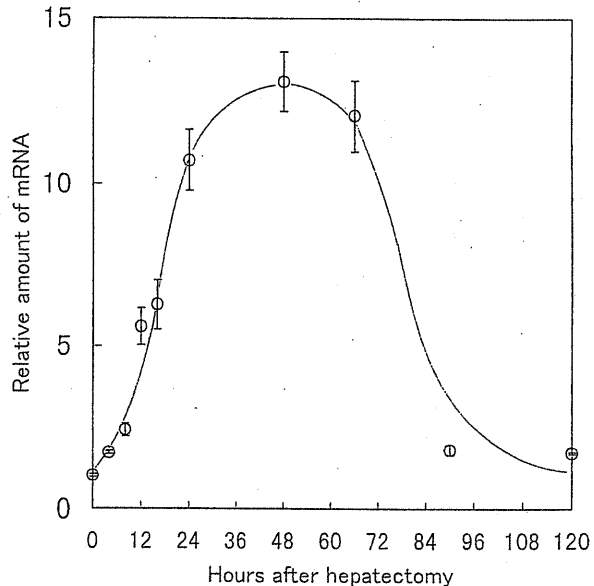
Hu-hep	MAKVFSFILVTTALIMGREISAL--EDCAQEQMRLRAQVRLLTRVKQQQ	40
Hu-fib- γ	LI-AIQLTYNPDESSKPNMIDA-TLKS-IMLEEIMKYEAISILTHDSS--I-Y	110
Hu-hep	E--TRVKQQVKIKQLLQENEVQFLDKGQDENTVI-DLGSKRQYAD	87
Hu-fib- γ	QEIYNSNN-KI-NL-EKVAQL-A-[QEPF]KDTVQ-H-ITG-----I-Q-A	157
Hu-hep	NDGYKLSGFYKIKPLQSLAEFSVYCDMSDGG-GWTVIQRRSDGSENFNRM	137
Hu-fib- γ	-K-A-Q-L-F---KANQQ-L---EIDGS-N---F-K-L---VD-KKN-	208
Hu-hep	KDYENGFCNFVQK-HCEYWLGKLNHLHFLLTQED--YTLKIDLADFEKNSRY	185
Hu-fib- γ	IQ-KE---HSPPTGTT-F---EKI-LIS---SAIP-A-RVE-E-WNGRTST	259
Hu-hep	AQYKNFKVGDEKNFYELNIGEY-SCTAGDSL--NFHPEVQWWASHQRM	232
Hu-fib- γ	-D-AM---P-ADK-R-TYAYFAG-D---AFD-FDFGDD-SDKFT-NG-	310
Hu-hep	KFSTWDRDHONYEGNC	283
Hu-fib- γ	Q-----N-N-KF---[Q-G---M-K]-AGH-----Q-GTYS-ASTPN	361
Hu-hep	--DNGIVWYTWHGWWYSLKSVVMKIRPNDFIPNVI	312
Hu-fib- γ	GY---I-A-KTR---M-KT---I-FNRLTIGE	396

Fig.8



Effects of human and rat hepassocin on DNA synthesis in cultured cells

Fig.5



Time-course of hepassocin mRNA expression during liver regeneration, as determined by scanning the autoradiograms with a densitometer.

Fig.7